

Interpolation surfacique

Santé et prévention

Baptiste Jacquin

41107

Comment repérer une victime de nuit ?



Schéma de notre solution

Caméra de faible résolution ———> Traitement du signal

- ✓ Taille et masse
- ✓ Débit de données
- ✓ Sobriété énergétique
- ✓ Coût
- ✗ Résolution

Augmente la résolution pour
permettre un pilotage fluide

Peut-on réaliser un système adapté à notre usage ?

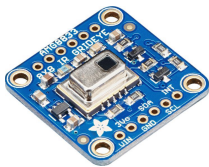
Comment traiter le signal de sortie de notre système ?

Quantification des contraintes

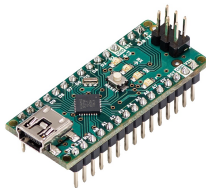


Contrainte	Maximum
Masse	250 g
Volume	$8 \times 10^{-3} \text{ m}^3$
Tension d'alimentation	10 V

Choix des composants



Caméra

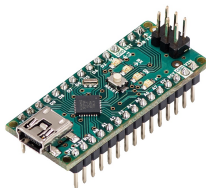
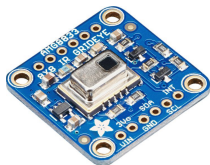


Arduino

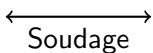


Python

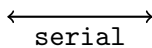
Interfaces entre les composants



Caméra



Arduino



Python

Système final

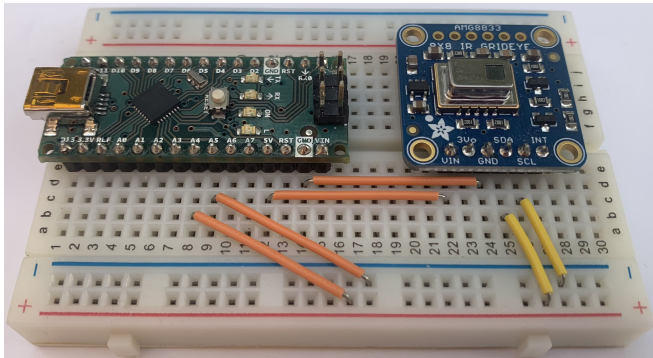
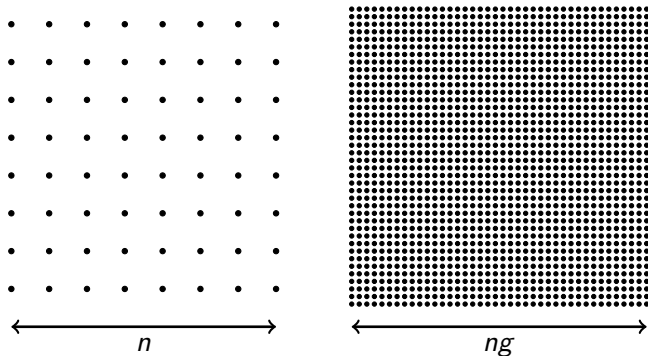


Image thermique produite



Interpolation surfacique

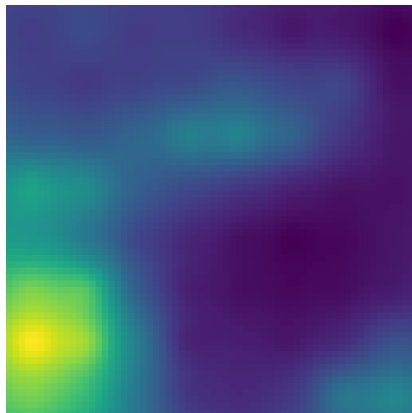


$$\mathcal{I}(\mathbf{M}) = \sum_{P \in \mathcal{D}} \phi_{\mathbf{M}}(P) \cdot \mathcal{I}(P)$$

Interpolation par inverse des distances

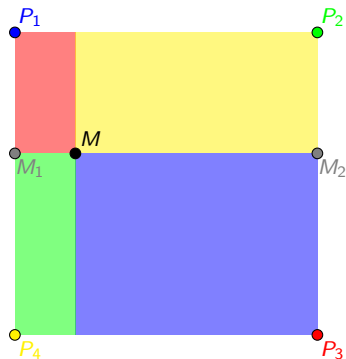
$$\phi_M(P) \propto \text{distance}(M, P)^{-1}$$

$$\Theta(n^4 g^2)$$



Inverse des distances

Interpolation bilinéaire



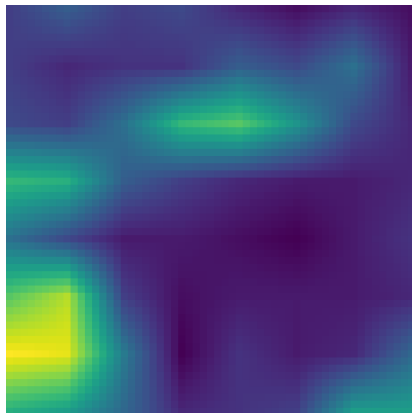
Succession de deux
interpolations linéaires

$$\mathcal{I}(M) = \sum_{i=1}^4 \frac{\mathcal{A}_M(P_i)}{\mathcal{A}} \cdot \mathcal{I}(P_i)$$

$$\Theta(n^2 g^2)$$

Implémentation et résultat

Deux fonctions auxiliaires
 lineaire
 transpose



Bilinéaire

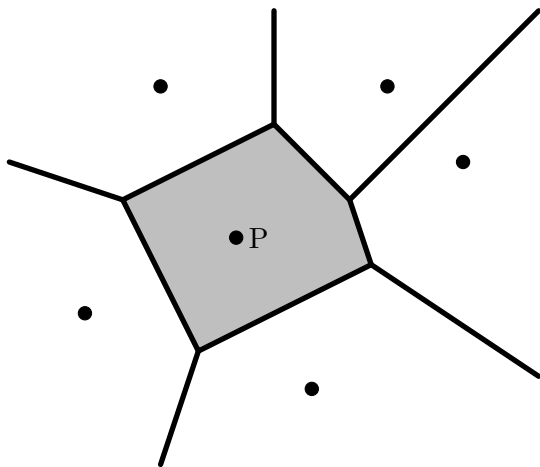
Interpolation par voisins naturels

Détermination d'un ensemble \mathcal{V} de voisins naturels

$$\mathcal{I}(\mathbf{M}) = \sum_{\mathbf{P} \in \mathcal{V}} \phi_{\mathbf{M}}(\mathbf{P}) \cdot \mathcal{I}(\mathbf{P})$$

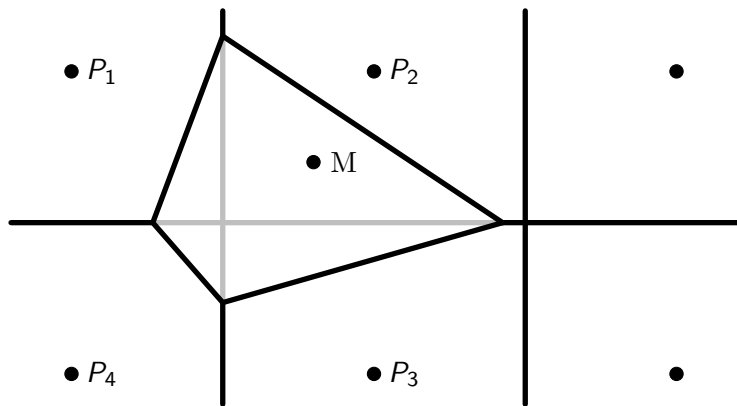
$$\Theta(n^2 g^2)$$

Diagramme de Voronoï



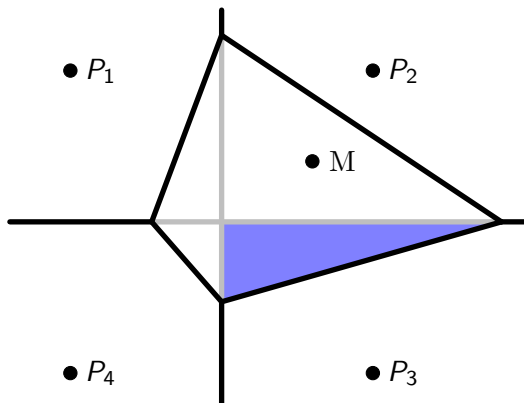
$$\begin{aligned}\text{Vor}(P, \mathcal{D}) &= \{M \in \mathbb{R}^2, \forall Q \in \mathcal{D}, \quad \|M - P\| \leq \|M - Q\|\} \\ &= \bigcap_{Q \in \mathcal{D} \setminus \{P\}} D(P, Q)\end{aligned}$$

Détermination des voisins \mathcal{V}



$$\begin{aligned}\mathcal{V}(M) &= \{\text{Points limitrophes de } \text{Vor}(M, \mathcal{D} \cup \{M\})\} \\ &\simeq \{P_1, P_2, P_3, P_4\}\end{aligned}$$

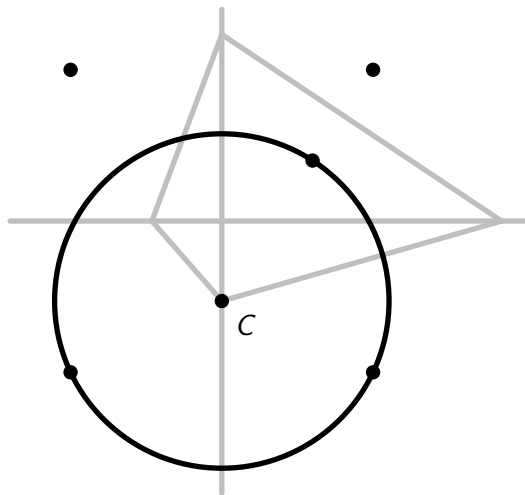
Pondération de Sibson et de Laplace



$$\phi_M(P_3) \propto \mathcal{A}(\text{Vor}(P_3, \mathcal{D}) \cap \text{Vor}(M, \mathcal{D} \cup \{M\})) \quad (\text{Sibson})$$

$$\propto \frac{\text{Longueur de l'interface}}{\text{Distance entre les points}} \quad (\text{Laplace})$$

Stratégie d'implémentation



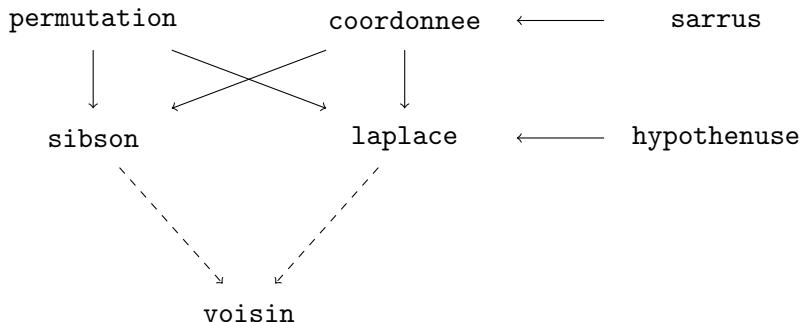
Voisins naturels

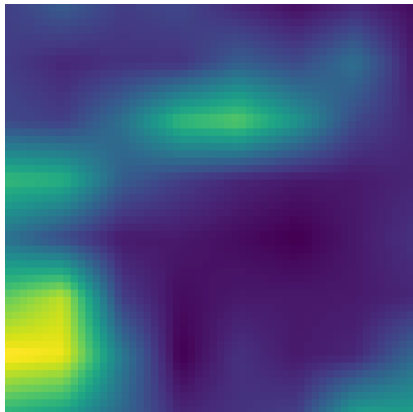
Pondération périodique

Symétries axiales

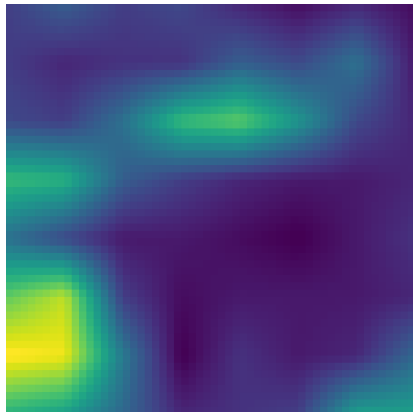
Centre du cercle
circonscrit

Organigramme de l'implémentation





Pondération de Sibson



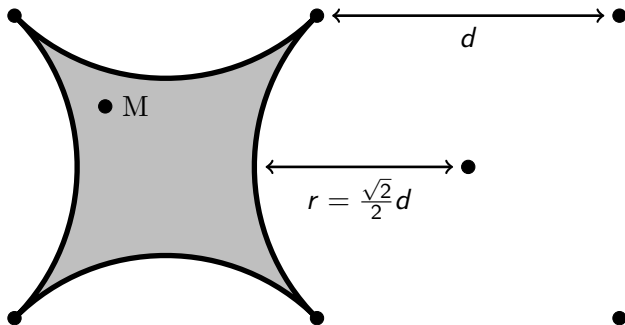
Pondération de Laplace

Prototype fonctionnel correspondant aux contraintes
Communication logicielle établie

Trois interpolations différentes implémentées
Analyse de complexité et du rendu

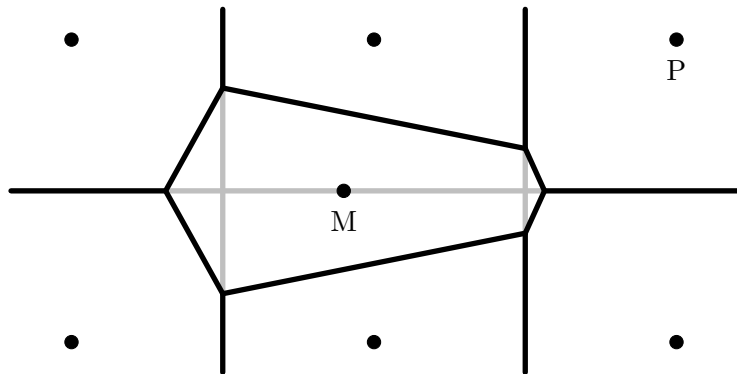
Affichage avec PyQtGraph
Interpolation temporelle

Annexe - Domaine de validité



$$\begin{aligned}\mathcal{A} &= 2 \cdot \mathcal{A}_{\text{carré}} - \mathcal{A}_{\text{disque}} \\ &= 2d^2 - \pi r^2 \\ &= \left(2 - \frac{\pi}{2}\right) \cdot \mathcal{A}_{\text{carré}}\end{aligned}$$

Annexe - Erreur d'approximation



$$\phi_M(P) \approx 0.070$$

(Sibson)

$$\approx 0.025$$

(Laplace)

$$\ll 1$$

Annexe - Conditions de cocyclicité

M, A, B, C cocycliques

$$\iff \exists(O, R), \forall P \in \{M, A, B, C\}, \quad (x_P - x_O)^2 + (y_P - y_O)^2 = R^2$$

$$\iff \exists(\alpha, \beta, \gamma), \forall P \in \{M, A, B, C\}, \quad x_P^2 + y_P^2 + \alpha x_P + \beta y_P + \gamma = 0$$

$$\iff \exists(\alpha, \beta, \gamma), \quad \underbrace{\begin{pmatrix} x_M^2 + y_M^2 & x_M & y_M & 1 \\ x_A^2 + y_A^2 & x_A & y_A & 1 \\ x_B^2 + y_B^2 & x_B & y_B & 1 \\ x_C^2 + y_C^2 & x_C & y_C & 1 \end{pmatrix}}_N \begin{pmatrix} 1 \\ \alpha \\ \beta \\ \gamma \end{pmatrix} = 0$$

$$\iff \det(N) = 0$$

$$\iff (x_M^2 + y_M^2)\Delta - \underbrace{\begin{vmatrix} x_A^2 + y_A^2 & y_A & 1 \\ x_B^2 + y_B^2 & y_B & 1 \\ x_C^2 + y_C^2 & y_C & 1 \end{vmatrix}}_{\alpha\Delta} x_M + \underbrace{\begin{vmatrix} x_A^2 + y_A^2 & x_A & 1 \\ x_B^2 + y_B^2 & x_B & 1 \\ x_C^2 + y_C^2 & x_C & 1 \end{vmatrix}}_{\beta\Delta} y_M - \tilde{\Delta} = 0$$

Annexe - Coordonnées du centre d'un cercle circonscrit

$$x_O = \frac{\alpha}{-2} = \frac{1}{2\Delta} \begin{vmatrix} x_A^2 + y_A^2 & y_A & 1 \\ x_B^2 + y_B^2 & y_B & 1 \\ x_C^2 + y_C^2 & y_C & 1 \end{vmatrix}$$

$$y_O = \frac{\beta}{-2} = \frac{-1}{2\Delta} \begin{vmatrix} x_A^2 + y_A^2 & x_A & 1 \\ x_B^2 + y_B^2 & x_B & 1 \\ x_C^2 + y_C^2 & x_C & 1 \end{vmatrix}$$

Annexe - Affichage avec PyQtGraph

